

Nombre del Producto: Anticuerpo policlonal de conejo Rb**Nº de Catálogo: APRab16929**

Solo para uso en investigación.

Resumen

Descripción	Anticuerpo policlonal de conejo
Huésped	Conejo
Aplicación	WB,IHC,ICC/IF,ELISA
Reactividad	Humano, Ratón, Rata
Conjugación	No conjugado
Modificación	Sin modificar
Isotipo	IgG
Clonalidad	Policlonal
Formato	Líquido
Concentración	1 mg/ml
Almacenamiento	Hacer alícuotas y almacenar a -20°C (válido por 12 meses). Evitar ciclos de congelación/descongelación.
Envío	Bolsas de hielo
Tampon	Líquido en PBS que contiene 50% de glicerol, 0,5% de proteína protectora y 0,02% de conservante de nuevo tipo N.
Purificación	Purificación por afinidad

Aplicación

Relación de Dilución	WB 1:500-1:2000,IHC 1:100-1:300,ICC/IF 1:200-1:1000,ELISA 1:10000-1:20000
Peso Molecular	106kDa

Información del Antígeno

Nombre del Gen	RB1
Nombres Alternativos	RB1; Retinoblastoma-associated protein; p105-Rb; pRb; Rb; pp110
ID del Gen	5925.0
ID SwissProt	P06400
Inmunógeno	El antisuero se elaboró contra un péptido sintetizado derivado del retinoblastoma humano. Rango de AA: 751-800.

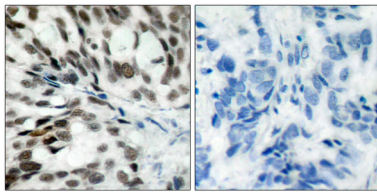
Antecedentes

La proteína codificada por este gen es un regulador negativo del ciclo celular y fue el primer gen supresor de tumores descubierto. Esta proteína también estabiliza la heterocromatina constitutiva para mantener la estructura general de la cromatina. La forma activa e hipofosforilada de la proteína se une al factor de transcripción E2F1. Los defectos en este gen son causa del cáncer infantil retinoblastoma (RB), cáncer de vejiga y sarcoma osteogénico. [proporcionado por RefSeq, jul. de 2008], enfermedad: Los defectos en RB1 son causa de cáncer de vejiga [MIM:109800], enfermedad: Los defectos en RB1 son causa de sarcoma osteogénico [MIM:259500], enfermedad: Los defectos en RB1 son causa del cáncer infantil retinoblastoma (RB) [MIM:180200]. El RB es un tumor maligno congénito que se origina en las capas nucleares de la retina. Se presenta en aproximadamente 1:20.000 nacidos vivos y representa aproximadamente el 2% de las neoplasias malignas infantiles. Es bilateral en aproximadamente el 30% de los casos. Aunque la mayoría de los RB aparecen esporádicamente, alrededor del 20% se transmiten como un rasgo autosómico dominante con penetrancia incompleta. El diagnóstico suele realizarse antes de los 2 años de edad, cuando se investiga el estrabismo o un reflejo pupilar gris-amarillento ("ojo de gato"). Función: Regulador clave de la entrada en la división celular que actúa como supresor tumoral. Actúa como represor de la transcripción de los genes diana E2F1. La forma activa y subfosforilada de RB1 interactúa con E2F1 y reprime su actividad transcripcional, lo que provoca la detención del ciclo celular. Participa directamente en la formación de la heterocromatina, manteniendo la estructura general de la cromatina y, en particular, la de la heterocromatina constitutiva, estabilizando la metilación de las histonas. Recluta y dirige las histonas metiltransferasas SUV39H1, SUV420H1 y SUV420H2, lo que provoca la represión transcripcional epigenética. Controla la trimetilación de la histona H4 "Lys-20". Inhibe la actividad quinasa intrínseca de TAF1. En caso de infecciones virales, las interacciones con el antígeno T grande de SV40, la proteína E7 del VPH o la proteína E1A del adenovirus inducen el desensamblaje del complejo RB1-E2F1, interrumpiendo así la actividad de RB1. Información en línea: Base de datos de mutación de RB1. Información en línea: Entrada de proteína de retinoblastoma. PTM: Se fosforila en G1, liberando así E2F1, que activa el crecimiento celular. Se desfosforila en la fase M tardía. El antígeno T grande de SV40, la proteína E7 del VPH y la proteína E1A del adenovirus se unen a la forma activa subfosforilada de pRb. Similitud: Pertenece a la familia de proteínas del retinoblastoma (RB). Subunidad: Interactúa con ATAD5 (por similitud). La forma hipofosforilada interactúa con el factor de transcripción E2F1 y lo secuestra. La forma no fosforilada interactúa con ARID3B, KDM5A, SUV39H1, MJD2A/JHDM3A y THOC1. Interactúa con el dominio N-terminal de TAF1. Interactúa con AATF, DNMT1, LIN9, LMNA, SUV420H1, SUV420H2, PELP1 y TMPO-alfa. Puede interactuar con NDC80. Interactúa con EID1 y UBR4. Interactúa con ARID4A y KDM5B. Interactúa con E4F1. Interactúa con la proteína E1A del adenovirus, la proteína E7 del VPH y el antígeno T grande del SV40. Especificidad tisular: Se expresa en la retina.

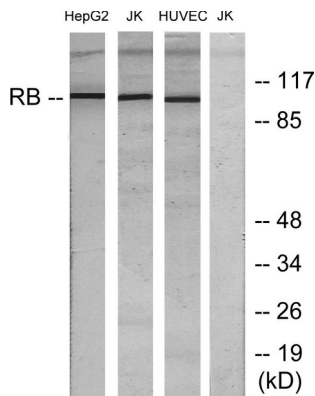
Área de Investigación

Vía de células madre; Ciclo celular G1S; Ciclo celular G2M ADN; Acetilación de proteínas

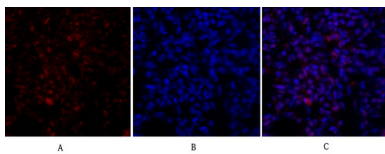
Datos de Imagen



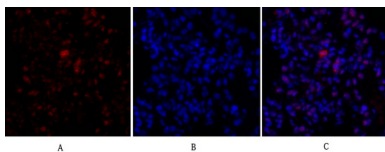
Análisis inmunohistoquímico de tejido de carcinoma mamario humano incluido en parafina, utilizando anticuerpos contra el retinoblastoma. La imagen de la derecha está bloqueada con el péptido sintetizado.



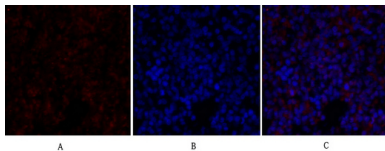
Análisis de inmunotransferencia de lisados de células HepG2, Jurkat y HUVEC, utilizando anticuerpos contra el retinoblastoma. El carril derecho está bloqueado con el péptido sintetizado.



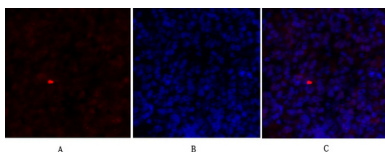
Análisis de inmunofluorescencia de tejido pulmonar de rata. 1. El anticuerpo policlonal Rb (rojo) se diluyó a 1:200 (4 °C, durante la noche). 2. El anticuerpo secundario marcado con Cy3 se diluyó a 1:300 (temperatura ambiente, 50 min). 3. Imagen B: DAPI (azul) 10 min. Imagen A: Objetivo. Imagen B: DAPI. Imagen C: Combinación de A+B.



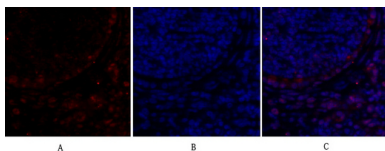
Análisis de inmunofluorescencia de tejido pulmonar de rata. 1. El anticuerpo policlonal Rb (rojo) se diluyó a 1:200 (4 °C, durante la noche). 2. El anticuerpo secundario marcado con Cy3 se diluyó a 1:300 (temperatura ambiente, 50 min). 3. Imagen B: DAPI (azul) 10 min. Imagen A: Objetivo. Imagen B: DAPI. Imagen C: Combinación de A+B.



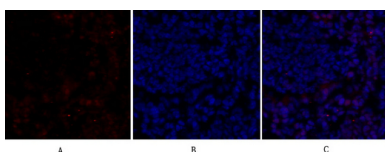
Análisis de inmunofluorescencia de tejido de bazo de rata. 1. El anticuerpo policlonal Rb (rojo) se diluyó a 1:200 (4 °C, durante la noche). 2. El anticuerpo secundario marcado con Cy3 se diluyó a 1:300 (temperatura ambiente, 50 min). 3. Imagen B: DAPI (azul) 10 min. Imagen A: Objetivo. Imagen B: DAPI. Imagen C: Combinación de A+B.



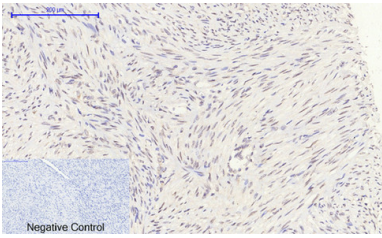
Análisis de inmunofluorescencia de tejido de bazo de rata. 1. El anticuerpo policlonal Rb (rojo) se diluyó a 1:200 (4 °C, durante la noche). 2. El anticuerpo secundario marcado con Cy3 se diluyó a 1:300 (temperatura ambiente, 50 min). 3. Imagen B: DAPI (azul) 10 min. Imagen A: Objetivo. Imagen B: DAPI. Imagen C: Combinación de A+B.



Análisis de inmunofluorescencia de tejido pulmonar de ratón. 1. El anticuerpo policlonal Rb (rojo) se diluyó a 1:200 (4 °C, durante la noche). 2. El anticuerpo secundario marcado con Cy3 se diluyó a 1:300 (temperatura ambiente, 50 min). 3. Imagen B: DAPI (azul) 10 min. Imagen A: Objetivo. Imagen B: DAPI. Imagen C: Fusión de A+B.



Análisis de inmunofluorescencia de tejido pulmonar de ratón. 1. El anticuerpo policlonal Rb (rojo) se diluyó a 1:200 (4 °C, durante la noche). 2. El anticuerpo secundario marcado con Cy3 se diluyó a 1:300 (temperatura ambiente, 50 min). 3. Imagen B: DAPI (azul) 10 min. Imagen A: Objetivo. Imagen B: DAPI. Imagen C: Fusión de A+B.



Análisis inmunohistoquímico de tejido canceroso de útero humano incluido en parafina. 1. El anticuerpo policlonal Rb se diluyó a 1:200 (4 °C, durante la noche). 2. Se utilizó citrato de sodio a pH 6,0 para la recuperación de anticuerpos (>98 °C, 20 min). 3. El anticuerpo secundario se diluyó a 1:200 (temperatura ambiente, 30 min). El control negativo se utilizó solo con el anticuerpo secundario.